



بررسی عملکرد باگاس نیشکر به عنوان منبع کربنی مورد نیاز در طراحی بسترها دنیتریفیکاسیون

ساره تگسیر^۱، عبد علی ناصری^{۲*}، هادی معاضد^۳، سید ابراهیم هاشمی گرم دره^۴ و سعید برومند نسب^۵

۱- دانشجوی دکتری آبیاری و زهکشی، دانشگاه شهید چمران اهواز.

۲- نویسنده مسئول، استاد گروه آبیاری و زهکشی، دانشگاه شهید چمران اهواز. abdalinaseri@yahoo.com

۳- استاد گروه آبیاری و زهکشی، دانشگاه شهید چمران اهواز.

۴- استادیار گروه آبیاری و زهکشی، پردیس ابوریحان دانشگاه تهران.

۵- استاد گروه آبیاری و زهکشی، دانشگاه شهید چمران اهواز.

تاریخ پذیرش: ۹۴/۹/۱۴

تاریخ دریافت: ۹۴/۶/۲۵

چکیده

یکی از اجزای پایدار نیتروژن، در طبیعت نیترات می‌باشد. ترکیبات نیترات بسیار حلال بوده و به راحتی می‌توانند وارد آب‌های سطحی و زیرزمینی شده و باعث آلوده شدن آن‌ها گردند. دنیتریفیکاسیون یکی از راه‌های حذف دائمی نیترات از اکوسیستم‌های آبی و زمینی می‌باشد. در این تحقیق پدیده دنیتریفیکاسیون و روند تغییر نرخ حذف نیترات با زمان، در یک مطالعه آزمایشگاهی ستونی بر روی دو نوع بستر متفاوت، نوع اول، فاقد باگاس نیشکر و نوع دوم، حاوی ۳۰٪ درصد حجمی باگاس نیشکر و ۷۰٪ درصد خاک، تحت شرایط کاملاً اشباع (بی‌هوایی)، بورسی و مطالعه شد. غلظت نیترات ورودی به بسترها مورد مطالعه، به طور متوسط ۴۵ میلی گرم در لیتر در نظر گرفته شد. با نمونه برداری از محلول ورودی و خروجی از فیلترهای طراحی شده، تغییرات حذف نیترات طی یک دوره سه ماهه مورد بررسی و ارزیابی قرار گرفت. بیشترین درصد حذف نیترات در بسترهای حاوی باگاس (۹۴ درصد) در اواخر دوره و در بسترها فاقد باگاس (۸۹ درصد)، در اوایل دوره مشاهده شد. نتایج نشان دادند که باگاس نیشکر می‌تواند به عنوان یک منبع کربنی بسیار مفید و کارآمد در طراحی فیلترهای کربنی و دیواره‌های دنیتریفیکاسیون کربنی برای حذف مطلوب نیترات از محلول‌های ورودی استفاده شود. به طور کلی، نتایج این تحقیق، فرآیند دنیتریفیکاسیون را به عنوان یکی از مکانسیم‌های اصلی حذف بیولوژیکی نیترات از محیط‌های بی‌هوایی پیشنهاد می‌دهد.

کلید واژه‌ها: باگاس نیشکر، بستر دنیتریفیکاسیون، زمان نگهداری هیدرولیکی واقعی، نیترات.

Evaluate the Performance of Sugarcane Bagasse as a Carbonic Source Required in the Design of Denitrification Substrates

S. Tangsir¹, A. A. Naseri^{2*}, H. Moazed³, S. E Hashemi Garmdareh⁴ and S. Broumand Nasab⁵

1- Ph.D. Student, Department of Irrigation and Drainage, Shahid Chamran University of Ahvaz, Ahvaz, Iran.

2*- Corresponding Author, Professor, Department of Irrigation and Drainage, Shahid Chamran University of Ahvaz, Ahvaz, Iran.

3- Professor, Department of Irrigation and Drainage, Shahid Chamran University of Ahvaz, Ahvaz, Iran.

4- Asistant professor, Irrigation and drainage Department, College of Aburaihan, University of Tehran.

5- Professor, Department of Irrigation and Drainage, Shahid Chamran University of Ahvaz, Ahvaz, Iran.

Received: 16 September 2015

Accepted: 5 December 2015

Abstract

Nitrate is one of the stable components of nitrogen in the nature. Nitrate compounds are highly soluble and can easily import to the surface and groundwaters and finally lead to be polluted of them. Denitrification is one of permanent removal methods of nitrate from terrestrial and aquatic ecosystems. In this study, denitrification process and nitrate removal rate changes with time in a column experimental study was evaluated on two types of denitrification beds, first type was a mixture of bagasse and soil (30 % of the volume of bagasse and 70 % of the volume of soil) and second type was only soil without bagasse. All experiments were performed under

تنگسیر و همکاران: بررسی عملکرد باگاس نیشکر به عنوان منبع کربنی...

saturation conditions (anaerobic conditions). The influent nitrate concentration to the all beds was considered an average of 45 mg/l. With sampling of inflow and outflow of the columns, nitrate removal changes were assessed over a period of three months. The maximum percentage of nitrate removal in columns with mixture of soil and bagasse were occurred in the end of the experiment (94%) and in columns without the bagasse were occurred in the first of the experiment (89%). The results showed that sugar cane bagasse as a carbonic source can be very useful in the design of carbonic filters and denitrification walls for nitrate favorable removal of inlet concentrated solutions. Overall, the results confirm that the denitrification process is one of the main mechanisms of biological nitrate removal from anaerobic environments.

Keywords: Sugarcane bagasse, Denitrification bed, Actual hydraulic retention time, Nitrate.

را به عنوان گسترده‌ترین آلاینده آب زیرزمینی در جهان معرفی می‌کنند. هم چنین سپلدنگ و اکستر^{۱۳}، در مطالعاتشان، آلوگی نیتراته آب‌های زیرزمینی در کشورهای در حال توسعه را رو به افزایش گزارش می‌کنند که پیوسته با افزایش کوددهی نیز در مقیاس بزرگ رو به افزایش می‌باشد. ولوکیتا و همکاران^{۱۴} (۱۹۹۶b)، سوزاندن مواد آلی یا توده‌های زیستی^{۱۵}، پاکسازی زمین و زهکشی تالاب‌ها، توسط انسان‌ها را عامل ایجاد استخراه‌ای بزرگی از نیترات‌های می‌کنند. گالوی و همکاران^{۱۶}، این موضوع را بسیار نگران کننده گزارش می‌کنند. زیرا از دیدگاه آن‌ها مقدار نیتراتی که انسان به محیط زیست اضافه می‌کند بیشتر از مقداری است که از طریق فرآیند دنیتریفیکاسیون از اکوسیستم حذف می‌شود به طوری که در نهایت این امر منجر به تشید حرکت نیترات به دریافت کننده‌های پایین دست در محیط زیست از قبیل دریاچه‌ها و مصب‌ها می‌شود. آن‌ها تأیید می‌کنند که انتقال نیترات به آب زیرزمینی به طور کلی در تمامی سیستم‌های کشاورزی مشاهده می‌شود. اگر چه در تعدادی از جوامع، فاضلاب انسانی نیز منع مهمی محسوب می‌شوند.

سیکل یا چرخه نیتروژن توسط فرآیندهای اصلی که تحول و دگرگونی بین شکل‌های مولکولی را نظارت می‌کنند، کنترل می‌شود. نولز^{۱۶} (۱۹۸۲)، هیل^{۱۷} (۱۹۹۶) و گیلیام^{۱۸} (۱۹۹۴)، دنیتریفیکاسیون را به عنوان یک فرآیند کلیدی تنظیم کننده چرخه‌ی عنصر ازت در محیط‌های زیست طبیعی معرفی می‌کنند. به گونه‌ای که طی این فرآیند، ازت غیر آلی به شکل نیترات، توسط گونه‌ای از باکتری‌های غیر هوایی موجود، از سیستم حذف می‌شود. محصول پایانی دنیتریفیکاسیون گاز نیتروژن می‌باشد که در اتمسفر قابل تشخیص است. دنیتریفیکاسیون به طور کلی از برخی از ترکیبات واسطه زیر پیروی می‌کند:



12- Spalding and Exner

13- Volokita *et al.*

14- Biomass

15- Knowles

16- Hill

17- Gilliam

مقدمه

اهمیت نیتروژن

گالوی و همکاران^{۱۹} (۲۰۰۳)، نیتروژن را به عنوان یکی از پنج عنصر اصلی لازم برای زندگی و یکی از فراوان‌ترین عناصر در جو و در زمین گزارش می‌کنند. در مطالعات ردی و دلانون^{۲۰} (۲۰۰۸)، نیتروژن یک ماده مغذی ضروری که در طیف وسیعی از شکل‌های در کره زمین یافت می‌شود و در مقایسه با سایر عناصر، شکل‌های شیمیایی بسیار زیادی دارد تعریف می‌شود. از طرف دیگر، لنگ^{۲۱} (۲۰۱۱)، در مطالعه‌ای، چهار شکل غیر آلی ازت، آمونیاک، آمونیوم، نیتریت و نیترات را که می‌توانند برای موجودات زنده سمی باشند گزارش می‌کنند. به علاوه کامرگو و آنسو^{۲۲} (۲۰۰۶)، در مطالعه‌ای، چهار مشکل زیست محیطی اصلی ناشی از زیادی نیتروژن در طبیعت از جمله ترش شدن آبهای شیرین^{۲۳}، مغذی شدن آبهای و مناطق مرده هیپوکسیک^{۲۴}، که عوارض نامطلوب بهداشتی برای موجودات آبزی و تولید گاز گلخانه‌ای اکسید دی نیتروژن، را به دنبال دارند، ذکر می‌کنند. مطابق با گزارش این محققین، غلظت‌های بالای نیترات منجر به سندروم بجه آبی^{۲۵}، سلطان در دستگاه‌های گوارشی، بیماری‌های قلبی کرونر و عفونت در دستگاه‌های تنفسی می‌شود. مطالعات روپرت^{۲۶} (۲۰۰۸)، نشان می‌دهد که در ایالت متحده آمریکا، بیشتر از ۲۰ درصد از چاه‌های روسیایی، غلظت‌های نیتروژن نیتراته بالاتر از حد استاندارد آب آشامیدنی (۱۰ میلی‌گرم در لیتر) دارند. سازمان حفاظت محیط زیست آمریکا^{۲۷} (۲۰۰۶) بیشترین سطح آلوگی نیترات را ۴۵ میلی گرم در لیتر گزارش کرده است. این مشکل در مناطق دیگر دنیا هم قابل مشاهده می‌باشد. استنفورد و همکاران^{۲۸} (۱۹۷۵)، نیترات

1- Galloway *et al.*

2- Reddy and Delaune

3- Long

4- Camargo and Alonso

5 - acidification of freshwater bodies

6- eutrophication

7- associated hypoxic zones

8- Blue baby syndrom

9- Rupert

10- USPEA

11- Stanford *et al.*

سرعت‌های ۰/۰۱ تا ۳/۶ گرم در متر مکعب در روز برای دیوارها و ۲ تا ۲۲ گرم در متر مکعب در روز برای بسترهای موفقیت آمیز گزارش می‌کنند.

لنگ و همکاران (۲۰۱۱)، دیوارهای دنیتریفیکاسیون را موانع واکنش‌پذیر متخلخل و نفوذپذیر تعریف می‌کنند که در داخل سطح آب زیرزمینی نصب می‌شوند به طوری که آب زیرزمینی در سرتاسر آن دیوار جریان می‌باشد و منبع کربنی ترکیب شده با خاک به عنوان منبع انرژی مورد نیاز دنیتریفیکاتورها در جهت تبدیل نیترات در آب زیرزمینی به گاز نیتروژن فعالیت می‌کند. ولوکیتا و همکاران (۱۹۹۶) a و b و وانگ و همکاران (۲۰۰۷)، محدوده وسیعی از انواع بسترهای کربنی در مطالعات ستونی^{۲۰} برای یافتن مناسب‌ترین بستر برای بیوراکتور مورد آزمایش قرار می‌دهند. سرعت‌های حذف نیترات در مطالعات ستونی ولوکیتا و همکاران (۱۹۹۶) a و b، از سه گرم در متر مکعب در روز (شلتوك برنج) (براده‌های چوب) تا ۹۶ گرم در متر مکعب در روز (شلتوك برنج) محدود می‌شود. کامرون و شیپر^{۲۱} (۲۰۱۰)، سرعت‌های فوق العاده بالای حذف نیترات برای تعداد زیادی از بسترهای کربنی (شلتوك برنج، خوش‌های گندم و پنبه) را به انتشار زیاد کربن آلی در شروع فاز نسبت می‌دهند و برای دوره‌های طولانی تر مفید نمی‌دانند. تحقیقات زیادی در زمینه بررسی عملکرد منابع کربنی متنوع در بسترهای دنیتریفیکاسیون در جهت افزایش راندمان حذف نیترات صورت گرفته است.

اودا و همکاران (۲۰۰۶)، گزارش می‌کنند که خصوصیات منابع کربنی اضافه شده اثر ویژه‌ای روی پارامترهای مهم فرآیند دنیتریفیکاسیون از جمله نرخ حذف نیترات دارند. یانگ و همکاران^{۲۲} (۲۰۱۲)، اثر منابع کربنی متفاوت (استات، سیترات و گلوکز)، نسبت کربن به ازت کل و غلظت اکسیژن حل شده روی فرآیند دنیتریفیکاسیون را در مطالعه خود گزارش می‌کنند. نتایج تحقیق کامرون و شیپر (۲۰۱۲)، نشان می‌دهد که براده‌های ذرت نسبت به براده‌های چوب، مقدار نیترات بیشتری را بدون اینکه منجر به کاهش شدید هدایت هیدرولیکی شوند حذف می‌نمایند. هاشمی گرم دره و همکاران^{۲۳} (۲۰۱۱)، پتانسیل چهار منبع کربنی متفاوت (چوب، کاه گندم، شلتوك برنج و برگ درخت خرما) برای کاربرد در بسترهای دنیتریفیکاسیون به منظور حذف نیترات را مورد ارزیابی و بررسی قرار دادند. نتایج این تحقیق نشان داد که نوع منبع کربنی بر راندمان حذف نیترات تأثیرگذار می‌باشد.

اودا و همکاران^۱ (۲۰۰۶)، حضور دنیتریفیکاتورها را تقریباً در تمامی خاک‌ها تأیید می‌کنند که محدوده وسیعی از گونه‌ها از جمله گونه سودومانس^۲، گونه آکالاین^۳، گونه فلاوباکتریوم^۴، گونه پاراکوکوس^۵ و گونه باسیلوس^۶ را شامل می‌شوند. اکثر باکتری‌های دنیتریفیکاتور، هتروتروفیک^۷ می‌باشند. هیسکوک و همکاران^۸ (۱۹۹۱) و له و ریمن^۹ (۲۰۰۳)، راجح‌ترین آن‌ها را گونه سودومانس معرفی می‌کنند به طوری که این گونه محدوده وسیعی از منبع کربنی را به عنوان منبع انرژی مصرف می‌کند. سپلاینگ و اکسنر (۱۹۹۳) و اوادا و همکاران (۲۰۰۶)، انجام فرآیند دنیتریفیکاسیون را نیازمند چندین عامل از جمله عدم حضور اکسیژن، موجودیت نیترات در محیط به عنوان گیرنده الکترون^{۱۰}، و کربن ناپایدار به عنوان منبع انرژی برای دنیتریفیکاتورها می‌دانند. شو و همکاران^{۱۱} (۲۰۰۹)، تأیید می‌کنند که در محیط‌های فاقد اکسیژن، موجودات زنده و ارگانیسم‌ها، نیترات را به عنوان ترمیتال گیرنده الکترون استفاده و مصرف می‌کنند به طوری که طی این فرآیند مواد آلی را برای به دست آوردن انرژی، اکسید می‌کنند. هم‌چنین این محققین گزارش می‌نمایند که علاوه بر نیترات، یک یا چند گیرنده دیگر الکترون برای دنیتریفیکاسیون نیاز می‌باشد. این اهداف کنندگان الکترون^{۱۲}، شامل کربن برای دنیتریفیکاسیون هتروتروفیک^{۱۳} یا کاهش آهن و سولفور، برای دنیتریفیکاسیون اتوتروفیک^{۱۴} می‌باشد.

شیپر و همکاران^{۱۵} (۲۰۱۰)، در مطالعه خود تاریخچه‌ای از طراحی‌های متفاوت بیوراکتورهای دنیتریفیکاسیون که منابع کربنی جامد را استفاده می‌کنند، غلظت‌های هیدرولوژیکی آن‌ها، اثر، و فاکتورهایی که عملکرد آن‌ها را محدود می‌کنند را ارائه می‌دهند. بسترهای دنیتریفیکاسیون اصلی، شامل دیوارهای دنیتریفیکاسیون^{۱۶} (متوقف کننده آب‌های زیر زمینی کم عمق)، بسترهای دنیتریفیکاسیون^{۱۷} (متوقف کننده تخلیه‌های غلیظ)، و لایه‌های دنیتریفیکاسیون^{۱۸} (متوقف کننده آب‌شوابی خاک) می‌باشند. این محققین عملکرد دیوارها و بسترهای دنیتریفیکاسیون را، در هر دو مطالعات میدانی و صحرابی با

1- Ueda *et al.*

2- Pseudomonas spp

3- Alcalignes spp

4- Flavobactrium spp

5- Paracoccus spp

6- Bacillus spp

7- Heterotrophic denitrifiring

8- Hiscock *et al.*

9- Lee and Rittmann

10- Electron acceptor

11- Shao *et al.*

12- Electron donor

13- Heterotrophic

14- Autotrophic

15- Schipper *et al.*

16-Denitrification interceptors or walls

17-Denitrification beds

18-Denitrification layers

19- Wang *et al.*

20- Column study

21- Cameron and Schipper

22- Yang *et al.*

23- Hashemi Garmdareh *et al.*

تنگسیر و همکاران: بررسی عملکرد باگاس نیشکر به عنوان منبع کربنی...

جدول ۱- خصوصیات بسترهای مورد مطالعه

مشخصات	نوع بسته	فاقد باگاس	حاوی باگاس
درصد مواد آلی	۱/۴	۲	
درصد کربن آلی	۰/۸۲	۱/۱۷	
درصد ازت کل	۰/۰۷۵	۰/۰۹۶	
نسبت کربن به ازت کل	۱۰/۹۳	۱۲/۱۹	
اسیدیته	۷/۶۳	۷/۵۶	
هدایت الکتریکی (قبل از آشوبی)	۱۱/۷۵	۱۱/۷۵	
هدایت الکتریکی (بعد از آشوبی)	۱/۹	۱/۸۴۵	
وزن مخصوص ظاهری*	۱/۵۵	۱/۳۳	
درصد رس	۱۲	۱۲	
درصد سیلت	۴۳/۴	۴۳/۴	
درصد شن	۴۴/۶	۴۴/۶	
بافت خاک	لومی	لومی	لومی

* بر حسب گرم بر سانتی‌متر مکعب.

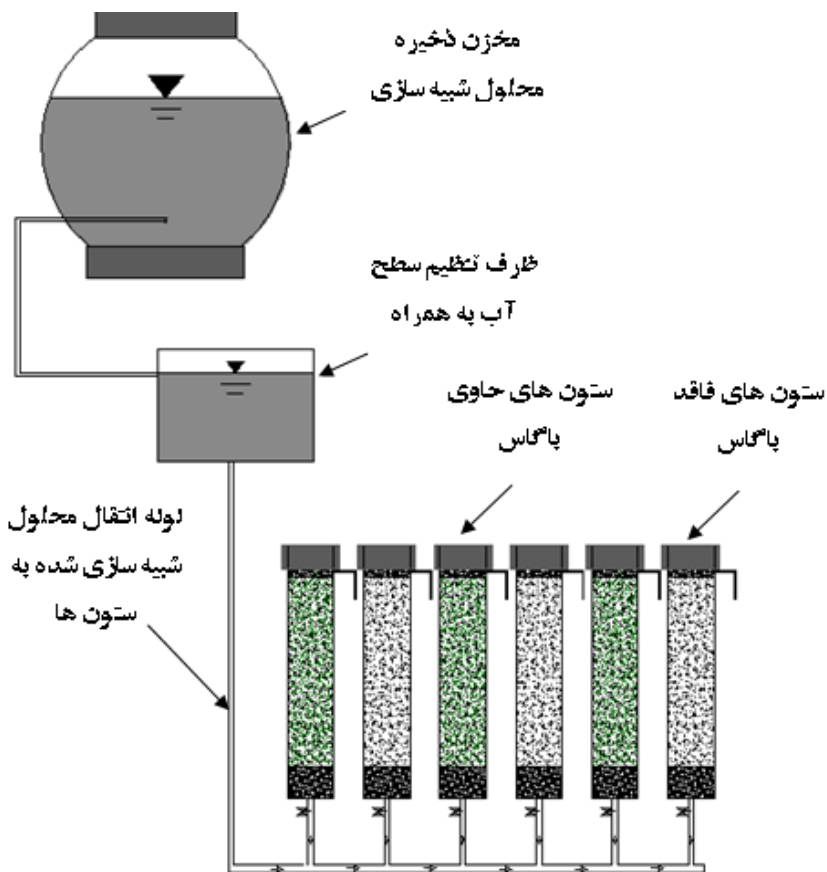
آمده سازی ستون‌های آزمایش

در این تحقیق بسترهای دنیتریفیکاسیون در لوله‌های پلی اتیلن به قطر سه اینچ (۷/۶۲ سانتی‌متر)، و ارتفاع ۴۵ سانتی‌متر شیبیه‌سازی می‌شوند. ابعاد در نظر گرفته شده برای مدل‌سازی بستر مشابه ابعاد در نظر گرفته شده توسط هاشمی و همکاران (۱۳۹۰) می‌باشد. هلیو همکاران^۱ (۲۰۱۲)، نیز در تحقیق خود، لوله‌ها با پوشش‌های تیره را، برای جلوگیری از تابش خورشید و احتمال وقوع ستز نوری (نور ساخت)^۲ انتخاب کردند. در تحقیق حاضر دو نوع بستر برای ارزیابی فرآیند دنیتریفیکاسیون آمده شد. در نوع اول، فقط خاک و در نوع دوم، مخلوطی از خاک و باگاس با نسبت حجمی ۳۰ درصد باگاس و ۷۰ درصد خاک در نظر گرفته شد. خصوصیات فیزیکی و شیمیایی بسترهای مورد مطالعه در جدول (۱) ارائه شده است.

ژو و همکاران^۳ (۲۰۱۵ a و b)، به استناد به تحقیقاتی که تا کنون انجام شده‌اند انتخاب یک منبع کربنی اقتصادی‌تر با راندمان و نرخ حذف مناسب‌تر را ضروری گذاشتند. به همین منظور در مطالعه حاضر عملکرد باگاس نیشکر (محصول خام تولیدی کشت و صنعت نیشکر) به عنوان یک منبع کربنی جدید بررسی و ارزیابی می‌شود. باگاس نیشکر به واسطه کشت وسیع آن، به وفور در استان خوزستان تولید می‌شود و مصرف آن علاوه بر کمک به سلامت محیط زیست، به لحاظ اقتصادی نیز بسیار مقومن به صرفه می‌باشد. در تحقیق حاضر طی یک سری مطالعات ستونی در محیط آزمایشگاهی، عملکرد باگاس نیشکر به عنوان منبع کربنی مورد نیاز در بسترهای دنیتریفیکاسیون در خصوص راندمان حذف نیترات بررسی و ارزیابی می‌شود. هم چنین تأثیر اضافه نمودن منبع کربنی بر روی هدایت هیدرولیکی اشباع در طول دوره آزمایش و ارتباط آن با راندمان حذف نیترات نیز بررسی می‌شود.

مواد و روش‌ها

مطالعه حاضر در آزمایشگاه تحقیقاتی دانشکده مهندسی علوم آب واقع در دانشگاه شهید چمران از اوایل مرداد ماه ۱۳۹۳ شروع و به مدت سه ماه تا پایان مهرماه ۱۳۹۳ ادامه داشت.



شکل ۱ - شماتیکی از نحوه چیدمان ستون‌ها و بارگذاری هیدرولیکی

و دیواره، دیواره لوله‌های پلی اتیلن، قبل از پر شدن به کمک گریس پوشش داده شدند. با این کار در پایان آزمایش هیچ شکاف بزرگی یا جدایی خاک از لوله مشاهده نشد. برای هر بستر طراحی شده سه تکرار در نظر گرفته شد.

شبیه سازی هیدرولیکی جریان عبوری از بسترها
در این تحقیق مشابه تحقیق هاشمی و همکاران^(۱۳۹۰)، هلیا و همکاران^(۲۰۱۲) و ویتوسک و همکاران^(۱۹۹۶)، با هدف شبیه‌سازی فرآیند دنتریفیکاسیون و ضرورت ایجاد شرایط کاملاً اشباع، جریان ورودی از پایین، وارد بستر و از بالای بستر خارج می‌شود. در جریان‌های رو به بالا^۳ وقوع شرایط اشباع حتمی می‌باشد. تمامی ستون‌های آزمایشی، تحت بار فشاری ثابت یک متري آب قرار داده می‌شوند. به منظور جلوگیری از تغییر غلاظت ورودی و انتقال غلاظت مشخص و یکسانی از نیترات به تمامی ستون‌ها، محلول شبیه‌سازی شده به کمک یک لوله با شش انشعاب خروجی به طور همزمان به تمامی ستون‌ها منتقل می‌شد.

ستون‌ها یا بسترها دنتریفیکاسیون بدین صورت پر شدند که در ابتدا خاک تهیه شده از سایت واقع در مزرعه شماره یک آبیاری و زهکشی در دانشگاه شهید چمران، هوا خشک گردید و سپس از الک دو میلی‌متری به منظور یکنواخت نمودن اندازه ذرات خاک و متعاقباً اختلاط صحیح آن با باگاس، عبور داده شد. باگاس نیشکر مورد استفاده در این مطالعه از مزارع کشت و صنعت نیشکر سلمان فارسی واقع در شهر شیرین شهر در سی کیلومتری شهر اموار تهیه شد. کل ارتفاع ستون (۳۵ سانتی‌متر)، با لایه‌های پنج سانتی‌متری و تعداد ۱۰ ضربه با وزنه سه کیلوگرم^۱ بر روی هر لایه، پر شدند. پنج سانتی‌متر اول و آخر در هر ستون مشابه با کار هلیا و همکارا^(۲۰۱۲)، با شن‌های شکسته به منظور یکنواختی توزیع جریان در ورودی و جلوگیری از شستشوی خاک در خروجی، پر گردید. پس از پر نمودن ستون‌ها، با کمک درپوش، خروجی ستون‌ها مسدود شدند. در شکل (۱)، شماتیکی از چیدمان ستون‌ها و نحوه ورود و خروج جریان نمایش داده است. هم چنین با هدف تثییت بستر خاک در مقطع لوله و عدم ایجاد جدایی در حد فاصل خاک و دیواره لوله به دلیل متفاوت بودن جنس مواد خاک

تنگسیر و همکاران: بررسی عملکرد باگاس نیشکر به عنوان منع کربنی...

جدول ۲- مشخصات کیفی و شیمیایی آب شهری و محلول ورودی به بسترها

نوع محلول		مشخصات	
آب شهری	محلول ورودی	آب شهری	محلول ورودی
۱/۹۰۶	۱/۰۸	هدايت الکتریکی (دسى زیمنس) بر متر)	
۷/۵۷	۷/۶۰	اسیدیته	
۴۵	۵/۵	نیترات (میلی گرم بر لیتر)	
۰/۹۸۱	۰/۹۷۶	آمونیوم (میلی گرم بر لیتر)	

به کربن آلی به روش اکسیداسیون دی کرومات پتابسیم و مقدار ازت کل به روش کجلدار اندازه گیری می شند.

محاسبه هدايت هیدرولیکی اشباع
هدايت هیدرولیکی اشباع با روش بار ثابت به صورت زیر محاسبه گردید:

$$K_s = Q / (i^* A) \quad (1)$$

به طوری که Q : سرعت حجمی جریان خروجی (متر مکعب بر روز)، i : گرادیان هیدرولیکی (بدون بعد) و A : سطح مقطع عبور جریان (متر مربع) می باشد. در این تحقیق گرادیان هیدرولیکی و مقطع جریان برای هر دو نوع بستر نیتریفیکاسیون به ترتیب $۲/۹۱$ متر در متر و $۰/۰۰۴۵$ متر مربع می باشد.

تخمین نرخ یا سرعت بار گذاری هیدرولیکی ^۰
نرخ بارگذاری هیدرولیکی با استفاده از رابطه پیشنهادی لین و همکاران ^۶ (۲۰۰۸)، از رابطه زیر بر حسب متر در روز محاسبه شد:
 $q = Q/A$ ^(۲)
که در آن، Q و A : به ترتیب سرعت حجمی جریان خروجی (متر مکعب بر ساعت) و سطح مقطع عبور جریان (متر مربع) می باشند.

تخمین تخلخل موثر ^۷
به منظور تخمین تخلخل موثر، از رابطه پیشنهادی فرانزمر ^۸ (۱۹۹۱) استفاده گردید:

$$K_s = 1.95 * 10^{-3} * \theta_e^{2/67} \quad (R^2 = 0.66) \quad (3)$$

تهیه محلول ورودی به بسترها

برای تهیه محلول ورودی، از آب لوله کشی شهری استفاده می شد. بدین صورت که ابتدا مشخصات کیفی و شیمیایی آب لوله کشی شهری از قبیل نیترات، هدايت الکتریکی، اسیدیته و آمونیوم اندازه گیری می شد. سپس به کمک نمک نیترات پتابسیم، غلظت نیترات آب شهری به حدود ۴۵ میلی گرم در لیتر افزایش داده می شد. در جدول (۲)، مشخصات کیفی و شیمیایی آب شهری و محلول تهیه شده ورودی به بسترها ارائه شده است.

نمونه گیری، ابزار و روش های اندازه گیری فاکتورهای کنترل شده در دوره آزمایش
قبل از شروع نمونه گیری، بسترهای آماده شده به مدت پنج روز تحت آب شویی با آب لوله کشی شهری قرار گرفتند. نمونه گیری از محلول های ورودی و خروجی، در اوایل دوره و به مدت یک هفته به صورت روزانه و پس از آن نمونه گیری ها به صورت هفتگی و در پایان دوره به صورت دو هفته یک بار انجام می شد. طول دوره آزمایش سه ماه در نظر گرفته شد و نمونه گیری ها از اوایل مرداد ماه شروع شدند و تا پایان مهرماه ادامه یافتند. مقادیر غلظت نیترات، آمونیوم، هدايت الکتریکی و اسیدیته نمونه های ورودی و خروجی در همان روز نمونه برداری اندازه گیری می شد. هم چنین مشابه کار هاشمی و همکاران (۲۰۱۱)، سرعت جریان محلول خروجی در همان روز نمونه برداری به روش حجمی اندازه گیری می شد. غلظت نیترات و آمونیوم به کمک دستگاه اسپکتروفوتومتر ^۱ مدل هک ^۲ و به ترتیب در طول موج های ۲۲۰ و ۳۲۵ نانومتر اندازه گیری می شدند. اسیدیته و هدايت الکتریکی به ترتیب با استفاده از دستگاه های اندازه گیری مدل اینولب ^۳ و مدل متراهم ^۴ اندازه گیری می شدند. در پایان دوره آزمایش مشابه کار واحدی و همکاران (۱۳۹۳)، با تهیه نمونه های خاک از بسترها موجود، درصد کربن آلی به روش والکی و بلاک، درصد ماده آلی

۵- Hydraulic loading rate

۶- Lin et al.

۷- Effective porosity

۸- Franzmeier

۱- Spectrophotometer DR 5000

۲- Hach

۳-Inolab

۴- Metrhom

تحلیل‌های آماری

تحلیل‌های صورت گرفته در این مطالعه به کمک نرم افزار آماری اس پی اس اس نسخه ۲۲ (مدل خطی عمومی^۱) انجام گرفت.

نتایج و بحث

تأثیر اضافه نمودن منبع کربنی (باگاس) بر راندمان حذف نیترات

رونده تغییرات غلظت نیترات خروجی و ورودی در طول دوره آزمایش در شکل (۲)، به تفکیک نوع بستر نمایش داده شده است. مطابق این شکل مشاهده گردید که میزان غلظت نیترات خروجی در هر دو بستر به کمتر از مقدار نیترات ورودی کاهش پیدا می‌کند. این نتایج مشابه نتایج گزارش شده توسط چندین محقق می‌باشد. هاشمی و همکاران (۱۳۹۰)، در مطالعه بررسی راندمان حذف نیترات در بسترها دنیتریفیکاسیون ساخته شده از پوشال جو مشاهده می‌کنند که در هر دو ستون حاوی منبع کربنی و فاقد منبع کربنی، نیترات خروجی به کمتر از نیترات ورودی کاهش می‌باشد. هم چنین مطابق با شکل (۲)، میزان کاهش نیترات خروجی در ستون‌های حاوی باگاس خیلی بیشتر از ستون‌های فاقد باگاس می‌باشد. این نتایج مشابه نتایج گزارش شده توسط هاشمی و همکاران (۱۳۹۰)، می‌باشد. آن‌ها میزان کاهش نیترات خروجی در ستون‌های حاوی منبع کربنی پوشال جو را خیلی بیشتر از ستون‌های فاقد این نوع منبع کربنی گزارش کردند. در این مطالعه نیز در شکل (۳)، به منظور مقایسه بهترین دو بستر، روند تغییرات راندمان حذف نیترات در طول دوره آزمایش نمایش داده شده است. مطابق با شکل (۳)، در بسترها فاقد باگاس، حداقل راندمان حذف (۸۵/۲۴ درصد)، به ابتدای دوره ۲۵ روز از شروع آزمایش (تعلق دارد که کامرون و شیبر، ۲۰۱۲)، آن را به انتشار زیاد کربن آلی در شروع فاز مطالعه نسبت می‌دهند. همچنین مشاهده می‌شود که در پایان دوره آزمایش راندمان حذف در ستون‌های فاقد باگاس به ۲۷/۸۱ درصد کاهش می‌یابد، در حالی که در بسترها حاوی باگاس، راندمان حذف نیترات در کل دوره آزمایش هم چنان بالای ۸۰ درصد باقی می‌ماند و حداقل راندمان حذف (۹۴/۵۴ درصد) در این نوع بسترها به پایان دوره آزمایش تعلق دارد. متوسط راندمان حذف در طول دوره آزمایش، در بسترها حاوی باگاس و فاقد باگاس به ترتیب برابر با ۸۹/۳۶ و ۴۶/۸۲ درصد می‌باشد. تفاوت بین راندمان حذف نیترات در ستون‌های حاوی باگاس و فاقد باگاس مطابق با نتایج ارائه شده در جدول (۳)، در سطح احتمال پنج درصد معنی دار گزارش شده می‌شود. نتایج به دست آمده نشان می‌دهند که باگاس نیشکر به خوبی در حذف نیترات ورودی می‌تواند مؤثر واقع شود.

به طوری که در آن، K_s و θ_e : به ترتیب هدایت هیدرولیکی اشباع (متر بر ثانیه) و تخلخل مؤثر (بدون بعد) می‌باشند
تخمین زمان نگهدارش هیدرولیکی واقعی^۲
در این تحقیق، زمان نگهدارش هیدرولیکی واقعی بر حسب ساعت از رابطه پیشنهادی قانع و همکاران^۳ (۲۰۱۵) تخمین زده شد:

$$AHRT = (L * n_e) / (q) \quad (4)$$

به طوری که در آن، L ، n_e و q : به ترتیب طول بستری که جریان آب از آن عبور می‌کند (متر)، تخلخل مؤثر (بدون بعد) و سرعت تخلیه ویژه یا نرخ بارگذاری هیدرولیکی (متر بر ساعت) می‌باشد.

تخمین نرخ حذف نیترات
به منظور تعیین عملکرد بسترها دنیتریفیکاسیون، نرخ حذف نیترات (میلی گرم بر لیتر بر ساعت) از رابطه زیر مطابق با رابطه پیشنهادی قانع و همکاران (۲۰۱۵) محاسبه شد:

$$R_{NO3^-} = -\Delta C / AHRT \quad (5)$$

در این رابطه، ΔC : مقدار افت غلظت نیترات ورودی (میلی گرم بر لیتر)، و $AHRT$: زمان نگهدارش هیدرولیکی واقعی (ساعت)، می‌باشد. هم چنین، کاکلک و والیس^۴ (۲۰۰۹) و ژو و همکاران (۲۰۱۵) و (b)، رابطه زیر را برای تخمین نرخ حذف نیترات در بسترها متناسبه با جمله بسترها دنیتریفیکاسیون پیشنهاد داده‌اند.

$$R_{NO3^-} = -(\Delta C * Q) / (V_s * n_e) \quad (6)$$

که در آن، V_s : به عنوان حجم بستر اشباع شده (متر مکعب) می‌باشد. سایر پارامترها مشابه معادله (۵) می‌باشند.

تخمین راندمان حذف نیترات
راندمان حذف نیترات از رابطه زیر مشابه رابطه ژو و همکاران (۲۰۱۵) محاسبه شد:

$$R \% = (C_i - C_{ef}) / C_i * 100 \quad (7)$$

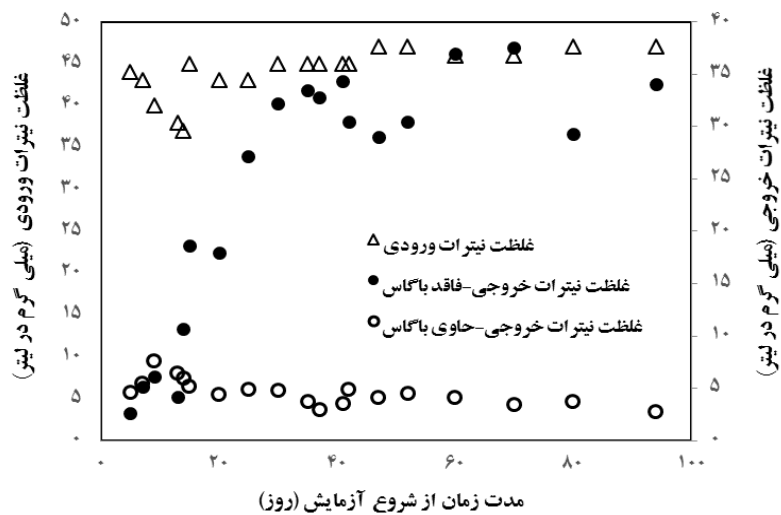
در این رابطه، C_i : غلظت نیترات اولیه یا ورودی (میلی گرم بر لیتر) و C_{ef} : غلظت نیترات خروجی از بستر (میلی گرم بر لیتر)، می‌باشد.

1- Actual hydraulic retention time (AHRT)

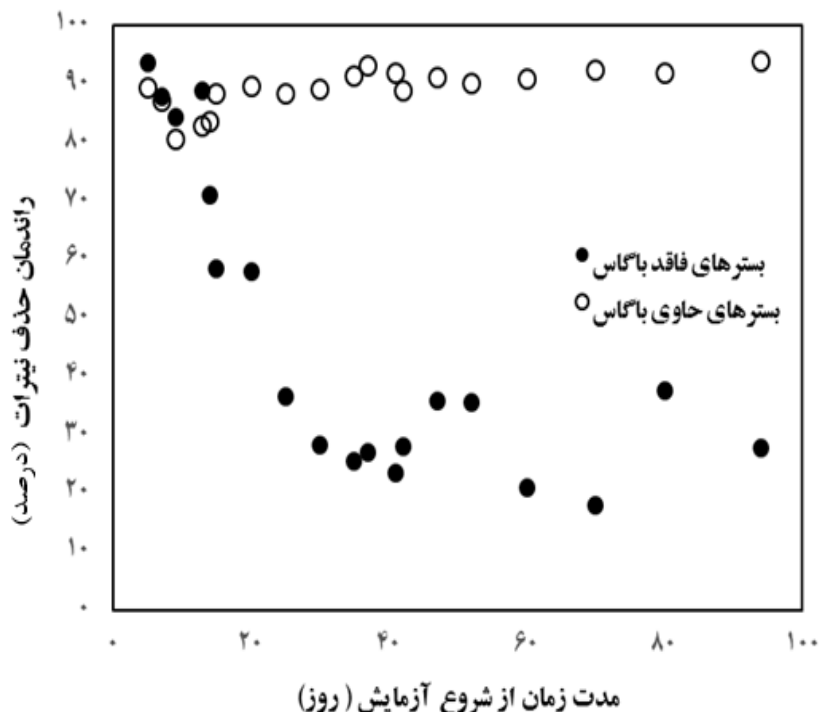
2- Ghane et al.

3- Kadlec and Wallace

تنگسیر و همکاران: بررسی عملکرد باگاس نیشکر به عنوان منع کربنی...



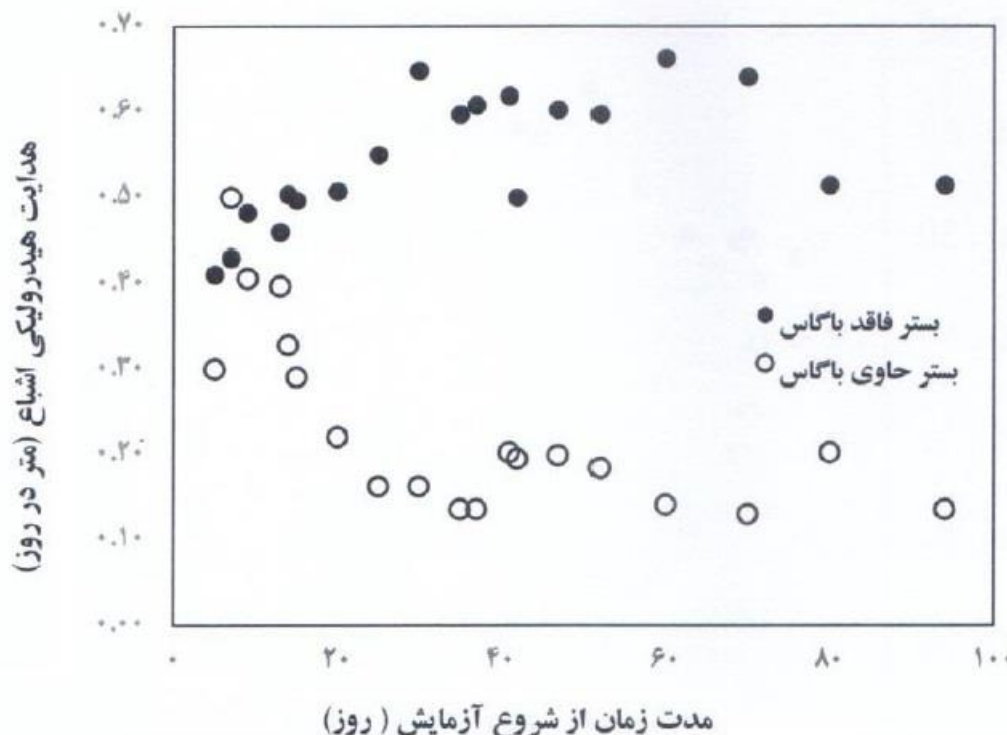
شکل ۲- روند تغییرات غلظت نیترات ورودی و خروجی در بسترها در طول دوره آزمایش



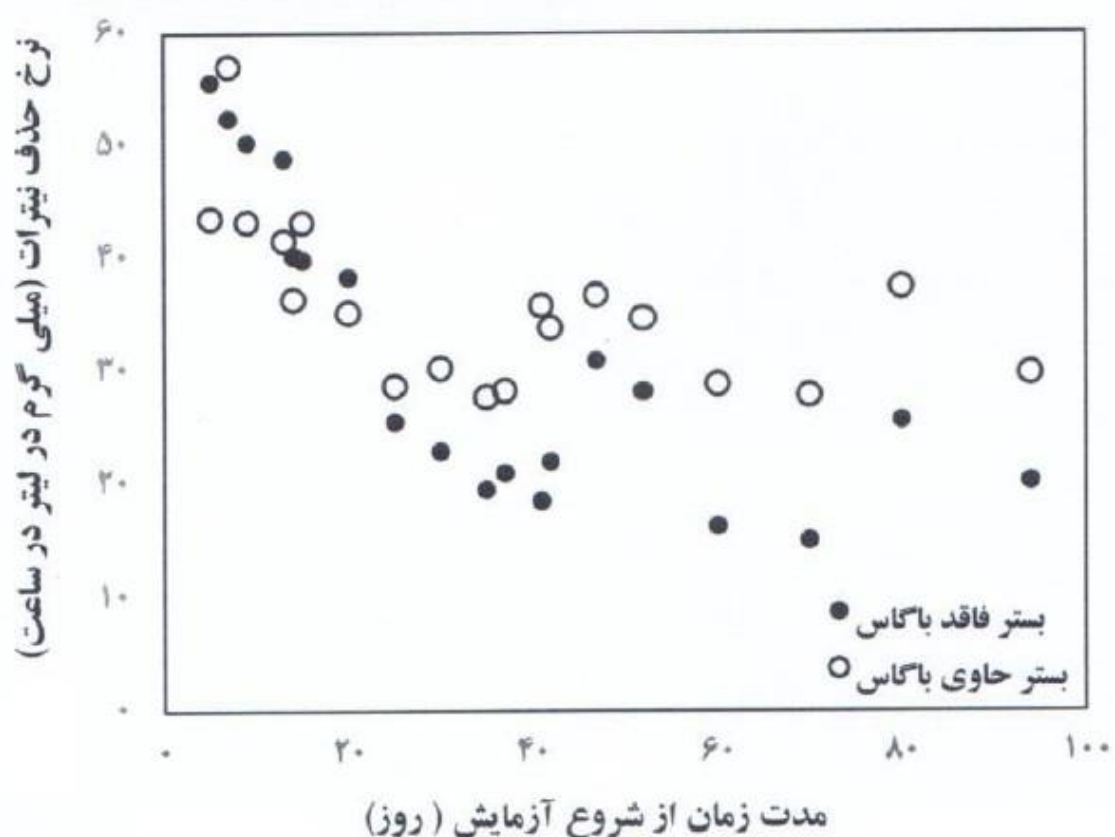
شکل ۳- روند تغییرات راندمان حذف نیترات در بسترها در طول دوره آزمایش

جدول ۳- نتایج آزمون مقایسه میانگین نمونه‌های مستقل

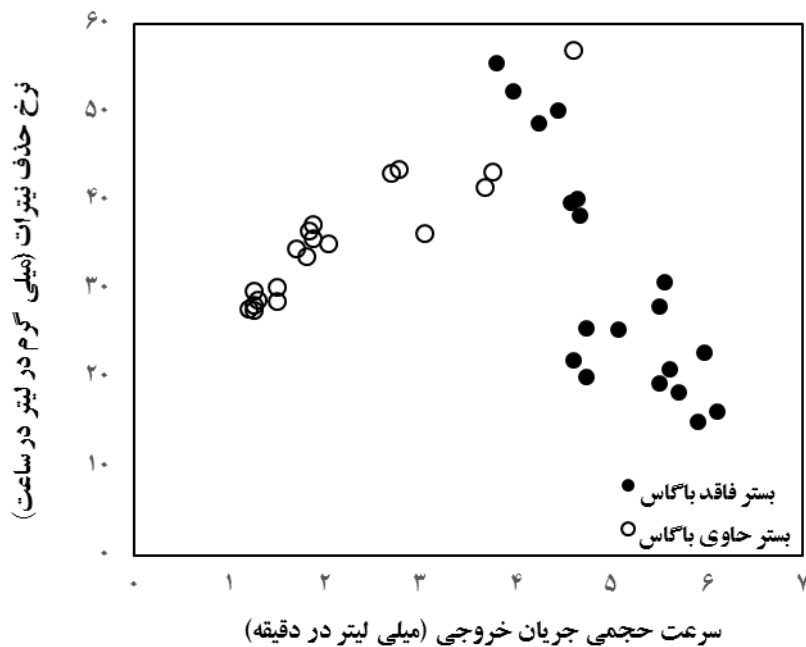
تنگسیر و همکاران: بررسی عملکرد با گاس نیشکر به عنوان منع کربنی...



شکل ۴- روند تغییرات هدایت هیدرولیکی اشباع در بسترها در طول دوره آزمایش



شکل ۵- روند تغییرات نرخ حذف نیترات در بسترها در طول دوره آزمایش



شکل ۶- روند تغییرات نرخ حذف نیترات با سرعت حجمی جریان به تفکیک بسترها در طول دوره آزمایش

آمده از این تحقیق می‌باشد. مطالعات آن‌ها نشان داد که مخلوط کردن خاک اره در محل با ماسه اشباع شده، منجر به کاهش هدایت هیدرولیکی اشباع در دیوار دنیتریفیکاسیون نسبت به بسترها ماسه‌ای درشت‌دانه که لایه‌های کم عمق آبدار را تشکیل می‌دهند می‌شود. هم چنین نتایج تحقیق کالدررا و همکاران^۳ (۲۰۱۴)، در مطالعه‌ی ارزیابی اثر وقوع توده‌های زیستی روی هیدرودینامیک سیستم‌های ستونی نشان داد که بهمود شرایط دنیتریفیکاتورها منجر به تشدید تولید توده‌های زیستی و در نهایت کاهش تخلخل و افزایش پاشیدگی در مواد لایه آبدار می‌شود. بنابراین مطابق با نتایج این محققین، کاهش هدایت هیدرولیکی اشباع در بسترها حاوی باگاس و به تبع آن کاهش تخلخل در این نوع بسترها می‌تواند به وقوع فرآیند دنیتریفیکاسیون، رشد توده‌های زیستی و گرفتگی منفذ نسبت داده شود. به عبارت دیگر این کاهش تخلخل می‌تواند نشانگر حضور باکتری‌های دنیتریفیکاسیون و رشد سلولی آن‌ها در بسترها حاوی باگاس باشد. به طوری که کاهش ۳۳ درصدی تخلخل مؤثر در ستون‌های حاوی باگاس نسبت به ستون‌های فاقد باگاس در طول دوره آزمایش مبین این موضوع می‌باشد.

تأثیر اضافه نمودن منبع کربنی بر هدایت هیدرولیکی اشباع

در این تحقیق با هدف بررسی تأثیر اضافه نمودن منبع کربنی بر روی هدایت هیدرولیکی اشباع، سایر پارامترهای تأثیرگذار بر این فاکتور، طول ستون و بار آبی در طول دوره آزمایش ثابت نگه داشته می‌شود. در شکل (۴)، روند تغییرات هدایت هیدرولیکی اشباع در طول دوره آزمایش نمایش داده شده است. مطالیق با شکل (۴)، مشاهده می‌شود که در ستون‌های حاوی باگاس با گذشت زمان، هدایت هیدرولیکی اشباع کاهش می‌یابد و تقریباً با گذشت ۴۰ روز از شروع آزمایش‌ها، مقدار این فاکتور ثابت می‌شود. اما در ستون‌های فاقد باگاس با گذشت زمان، هدایت هیدرولیکی اشباع افزایش و در نهایت با گذشت تقریباً ۵۵ روز از شروع آزمایش‌ها ثابت می‌شود. نتایج نشان دادند که اضافه نمودن فقط ۳۰ درصد باگاس به طور حداقل باعث کاهش ۷۳/۵۹ درصد هدایت هیدرولیکی اشباع در پایان دوره و به طور متوسط کاهش ۵۶ درصد در کل دوره آزمایش شد. بر مبنای تحلیل‌های آماری انجام شده، تفاوت بین مقادیر هدایت هیدرولیکی اشباع در بسترها مورد مطالعه، در سطح احتمال پنج درصد معنی‌دار گزارش می‌شود (جدول ۳). نتایج تحقیق شیربر و همکاران (۲۰۰۴) و بارکل و همکاران^۱ (۲۰۰۷)، در زمینه تأثیر اضافه نمودن منبع کربنی جدید روی هدایت هیدرولیکی اشباع، مشابه نتایج به دست

تنگی و همکاران: بررسی عملکرد باگاس نیشکر به عنوان منع کربنی...

جدول ۴- تحلیل همبستگی بین سایر پارامترهای تأثیرگذار بر فرآیند دنیتریفیکاسیون

هدایت								نوع بسط
درصد حذف	نرخ حذف	زمان نگهداشت	هیدرولیکی	تخلل مؤثر	اشباع	هیدرولیکی	نرخ بارگذاری	
-۰/۷۰۶	-۰/۵۸۹**	-۰/۹۳۸**	-۰/۹۹۸**	۱/۰۰۰**	۱	۱	ضریب همبستگی	نرخ بارگذاری
.۰/۰۰۰	.۰/۰۰۰	.۰/۰۰۰	.۰/۰۰۰	.۰/۰۰۰	.۰/۰۰۰	.۰/۰۰۰	میزان معنی داری	هیدرولیکی
۵۴	۵۴	۵۴	۵۴	۵۴	۵۴	۵۴	تعداد	(متر بر ساعت)
-۰/۷۰۶**	-۰/۵۸۹**	-۰/۹۸۳**	۱	۱	۱	۱/۰۰۰**	ضریب همبستگی	هدایت
.۰/۰۰۰	.۰/۰۰۰	.۰/۰۰۰				.۰/۰۰۰	میزان معنی داری	هیدرولیکی
							اشباع	
۵۴	۵۴	۵۴	۵۴	۵۴	۵۴	۵۴	تعداد	(سانتی متر بر ساعت)
-۰/۷۱۷**	-۰/۵۹۵**	-۰/۹۹۳**	۱	.۰/۹۹۸**	.۰/۹۹۸**	۰/۹۹۸**	ضریب همبستگی	هدایت
.۰/۰۰۰	.۰/۰۰۰	.۰/۰۰۰		.۰/۰۰۰	.۰/۰۰۰	.۰/۰۰۰	میزان معنی داری	تخلل مؤثر
۵۴	۵۴	۵۴	۵۴	۵۴	۵۴	۵۴	تعداد	
.۰/۷۲۵	.۰/۵۹۸	۱	-۰/۹۹۳**	-۰/۹۸۳**	-۰/۹۸۳**	-۰/۹۸۳**	ضریب همبستگی	زمان
.۰/۰۰۰	.۰/۰۰۰		.۰/۰۰۰	.۰/۰۰۰	.۰/۰۰۰	.۰/۰۰۰	میزان معنی داری	نگهداشت
۵۴	۵۴	۵۴	۵۴	۵۴	۵۴	۵۴	تعداد	هیدرولیکی
								(ساعت)
.۰/۹۷۲**	۱	.۰/۵۸۹**	-۰/۵۹۵**	-۰/۵۸۹**	-۰/۵۸۹**	-۰/۵۸۹**	ضریب همبستگی	نرخ حذف
.۰/۰۰۰		.۰/۰۰۰	.۰/۰۰۰	.۰/۰۰۰	.۰/۰۰۰	.۰/۰۰۰	میزان معنی داری	(میلی گرم بر لیتر بر ساعت)
۵۴	۵۴	۵۴	۵۴	۵۴	۵۴	۵۴	تعداد	
۱	-۰/۹۷۲**	-۰/۷۲۵**	-۰/۷۱۷**	-۰/۷۰۶**	-۰/۷۰۶**	-۰/۷۰۶**	ضریب همبستگی	درصد حذف
	.۰/۰۰۰	.۰/۰۰۰	.۰/۰۰۰	.۰/۰۰۰	.۰/۰۰۰	.۰/۰۰۰	میزان معنی داری	
۵۴	۵۴	۵۴	۵۴	۵۴	۵۴	۵۴	تعداد	
-۰/۷۵۱	-۰/۹۱۲**	-۰/۹۳۶**	-۰/۹۹۱**	۱/۰۰۰**	۱	۱	ضریب همبستگی	نرخ بارگذاری
.۰/۰۰۰	.۰/۰۰۰	.۰/۰۰۰	.۰/۰۰۰	.۰/۰۰۰	.۰/۰۰۰	.۰/۰۰۰	میزان معنی داری	هیدرولیکی
۵۳	۵۳	۵۳	۵۳	۵۳	۵۳	۵۳	تعداد	(متر بر ساعت)
-۰/۷۵۱**	-۰/۹۱۲**	-۰/۹۳۶**	-۰/۹۹۱**	۱	۱/۰۰۰**	۰/۹۰۰**	ضریب همبستگی	هدایت
.۰/۰۰۰	.۰/۰۰۰	.۰/۰۰۰	.۰/۰۰۰	.۰/۰۰۰	.۰/۰۰۰	.۰/۰۰۰	میزان معنی داری	هیدرولیکی
							اشباع	
۵۳	۵۳	۵۳	۵۳	۵۳	۵۳	۵۳	تعداد	(سانتی متر بر ساعت)
-۰/۷۵۵**	.۰/۹۱۹**	-۰/۹۷۴**	۱	.۰/۹۹۱**	.۰/۹۹۱**	.۰/۹۹۱**	ضریب همبستگی	هدایت
.۰/۰۰۰	.۰/۰۰۰	.۰/۰۰۰		.۰/۰۰۰	.۰/۰۰۰	.۰/۰۰۰	میزان معنی داری	تخلل مؤثر
۵۳	۵۳	۵۳	۵۳	۵۳	۵۳	۵۳	تعداد	
.۰/۷۱۹**	-۰/۹۰۲**	۱	-۰/۹۷۴**	-۰/۹۳۶**	-۰/۹۳۶**	-۰/۹۳۶**	ضریب همبستگی	زمان
.۰/۰۰۰	.۰/۰۰۰		.۰/۰۰۰	.۰/۰۰۰	.۰/۰۰۰	.۰/۰۰۰	میزان معنی داری	نگهداشت
۵۳	۵۳	۵۳	۵۳	۵۳	۵۳	۵۳	تعداد	هیدرولیکی
								(ساعت)
-۰/۴۷۱**	۱	-۰/۹۰۲**	-۰/۹۱۹**	.۰/۹۱۲**	.۰/۹۱۲**	.۰/۹۱۲**	ضریب همبستگی	نرخ حذف
.۰/۰۰۰		.۰/۰۰۰	.۰/۰۰۰	.۰/۰۰۰	.۰/۰۰۰	.۰/۰۰۰	میزان معنی داری	(میلی گرم بر لیتر بر ساعت)
۵۳	۵۳	۵۳	۵۳	۵۳	۵۳	۵۳	تعداد	
۱	-۰/۴۷۱**	.۰/۷۱۹**	-۰/۷۵۵	-۰/۷۵۱**	-۰/۷۵۱**	-۰/۷۵۱**	ضریب همبستگی	درصد حذف
	.۰/۰۰۰	.۰/۰۰۰	.۰/۰۰۰	.۰/۰۰۰	.۰/۰۰۰	.۰/۰۰۰	میزان معنی داری	
۵۳	۵۳	۵۳	۵۳	۵۳	۵۳	۵۳	تعداد	

* در سطح احتمال یک درصد معنی دار می باشد.

نرخ بارگذاری هیدرولیکی (بانگ و همکاران ۲۰۱۲)، غلظت‌های اکسیژن حل شده ورودی (برترسون^۴، ۲۰۱۰)، نرخ بارگذاری نیترات و غلظت‌های منع کربنی و قابلیت دسترسی زیستی (سیترینگر^۵، ۱۹۸۸؛ هیل و کارداسی^۶، ۲۰۰۴) می‌باشد. در این تحقیق، نرخ حذف نیترات در بسترها دنیتریفیکاسیون مورد آزمایش، حدوداً سه برابر حداقل نرخ حذف گزارش شده تا کنون می‌باشد که این تفاوت به نوع منع کربنی استفاده شده، سرعت جریان خروجی، دمای فوق العاده بالای محیط، غلظت نیترات ورودی و زمان نگهداشت هیدرولیکی بالا وابسته می‌باشد.

تأثیر زمان نگهداشت هیدرولیکی واقعی بر میزان حذف نیترات

برترسون (۲۰۱۰)، زمان نگهداشت هیدرولیکی واقعی را یک فاکتور مهم در بررسی فرآیند دنیتریفیکاسیون و حذف مطلوب نیترات گزارش می‌کند. مقدار این فاکتور بر مقدار حذف بسیار تأثیر گذار می‌باشد. لذا تعیین حد آستانه این فاکتور ضروری می‌باشد. به طوری که چنان‌چه زمان نگهداشت هیدرولیکی بسته به شرایط خاص آزمایش کوتاه باشد چه بسا ممکن است نرخ حذف بالا باشد و لی بستر دنیتریفیکاسیون طراحی شده قادر به حذف نیترات در حد مطلوب نباشد. زیرا باکتری‌های دنیتریفیکاتور در صورت حضور اکسیژن حل شده در آب ورودی، ابتدا اکسیژن موجود را مصرف می‌کنند و سپس از نیترات موجود در محلول در جهت ادامه حیات به عنوان گیرنده الکترون استفاده می‌کنند و نهایتاً منجر به حذف آن از محیط می‌شوند. لذا زمانی که این فاکتور از یک حد مشخص بسته به نوع منع کربنی و دیگر شرایط خاص آزمایش، کمتر می‌شود، باکتری‌های دنیتریفیکاتور فرصتی برای مصرف کل اکسیژن حل شده و نهایتاً مصرف نیترات و حذف آن از محیط نمی‌یابند. در شکل (۷)، روند تغییرات مقدار حذف نیترات با زمان نگهداشت هیدرولیکی واقعی مشاهده می‌شود. مطابق با شکل (۷)، در هر دو بستر مقدار نیترات حذف شده با افزایش زمان نگهداشت، افزایش می‌یابد که این نتایج مشابه نتایج ارائه شده توسط برترسون (۲۰۱۰)، می‌باشد. هم چنین این محقق در مطالعاتش یک رابطه‌ی عکس بین زمان نگهداشت و مقدار اکسیژن حل شده مشاهده می‌کند. نتایج تحلیل آماری (جدول^۳)، تفاوت بین زمان نگهداشت هیدرولیکی بین دو بستر در سطح احتمال پنج درصد را معنی‌دار نشان می‌دهد. مطابق با شکل (۷)، در بسترهای خاوي باگاس حداکثر مقدار حذف در زمان نگهداشت هیدرولیکی ۱/۴۹ ساعت و در بسترها فاقد باگاس در زمان نگهداشت هیدرولیکی ۰/۷۴ ساعت رخ می‌دهد. هم چنین مشاهده می‌شود که شبیه تغییرات مقدار نیترات حذف شده با زمان نگهداشت هیدرولیکی، در بسترها فاقد باگاس بیشتر از بسترهای خاوي باگاس می‌باشد.

تأثیر اضافه نمودن منبع کربنی بر نرخ حذف نیترات
روند تغییرات نرخ حذف با زمان و سرعت جریان خروجی، به تفکیک نوع بستر، به ترتیب در شکل‌های (۵) و (۶) قابل مشاهده می‌باشد. در شکل (۵)، مشاهده می‌شود که در هر دو بستر با گذشت زمان نرخ حذف نیترات کاهش می‌یابد و تقریباً بعد از ۴۰ روز تغییرات نرخ حذف با زمان، به شدت کاهش می‌یابد و نرخ حذف نیترات در هر دو بستر به مقدار ثابتی نزدیک می‌شود. بالا بودن نرخ حذف و تغییرات شدید آن با زمان در ابتدای دوره در هر دو بستر، مطابق با نتایج کامرون و شیپر (۲۰۱۰)، می‌تواند به انتشار بیش از حد منبع کربنی نسبت داده شود (شکل ۵). بعد از گذشت ۲۵ روز از شروع آزمایش‌ها، نرخ حذف نیترات در ستون‌های حاوی باگاس در کل دوره باقیمانده، بیشتر از ستون‌های فاقد باگاس می‌شود (شکل ۵). به طوری که در پایان دوره آزمایش، نرخ حذف در بسترهای خاوي باگاس، ۳۲ درصد بیشتر از ستون‌های فاقد باگاس می‌شود. در شکل (۶)، روند تغییرات نرخ حذف نیترات با سرعت جریان خروجی از بستر مشاهده می‌شود. مطابق با شکل (۶)، هم بستگی نرخ حذف با سرعت جریان خروجی از بستر، در ستون‌های خاوي باگاس، مشتب و در ستون‌های فاقد باگاس، منفی می‌باشد، و در نهایت نرخ حذف در هر دو بستر در یک محدوده سرعت جریان خروجی، ۴ تا ۵ میلی‌لیتر در دقیقه، به مقدار حداکثر خود می‌رسد. نتایج تحلیل‌های آماری، هم بستگی نرخ حذف نیترات با سرعت جریان خروجی را در هر دو بستر در سطح احتمال یک درصد معنی‌دار نشان می‌دهد (جدول ۴). در این تحقیق، نرخ حذف نیترات به طور متوسط در طول دوره آزمایش در ستون‌های خاوي باگاس و فاقد باگاس به ترتیب برابر با ۳۵/۸۲ و ۳۱/۱۷ میلی‌گرم در لیتر در ساعت می‌باشد. به طور کلی نتایج تحلیل آماری، تأثیر اضافه نمودن منبع کربنی جدید (باگاس نیشکر) روی نرخ حذف نیترات را در سطح احتمال پنج درصد معنی‌دار نشان می‌دهد (جدول ۴). در مطالعات کوتاه مدت کامرون و همکاران (۲۰۱۰) و اسمیل^۱ (۱۹۹۷)، نرخ‌های بالای حذف نیترات (بیشتر از ۴/۱۷ میلی‌گرم در لیتر در ساعت) در مقیاس‌های آزمایشگاهی با استفاده از منابع کربنی حساس‌تر از چوب، (خوش‌های ذرت، کاه گندم، شلتوك برنج و غیره) مشاهده می‌شود.

اما آن‌ها گزارش کرده‌اند که طول عمر نرخ حذف و نفوذپذیری این بسترها به احتمال زیاد کمتر از چوب می‌باشد. سرعت‌های حذف نیترات در مطالعات متعددی که روی عملکرد انواع بسترها دنیتریفیکاسیون انجام شده‌اند، از ۰/۶۲ (جینیز و همکاران^۲، ۲۰۰۸) تا ۰/۳ (زو و همکاران^۳، ۲۰۰۹) گرم نیترات در متر مکعب در روز محدود می‌شوند. به طوری که این سرعت‌ها، بسیار متأثر از دمای بهره‌برداری (کامرون و همکاران، ۲۰۱۰)،

4- Robertson

5- Seitzinger

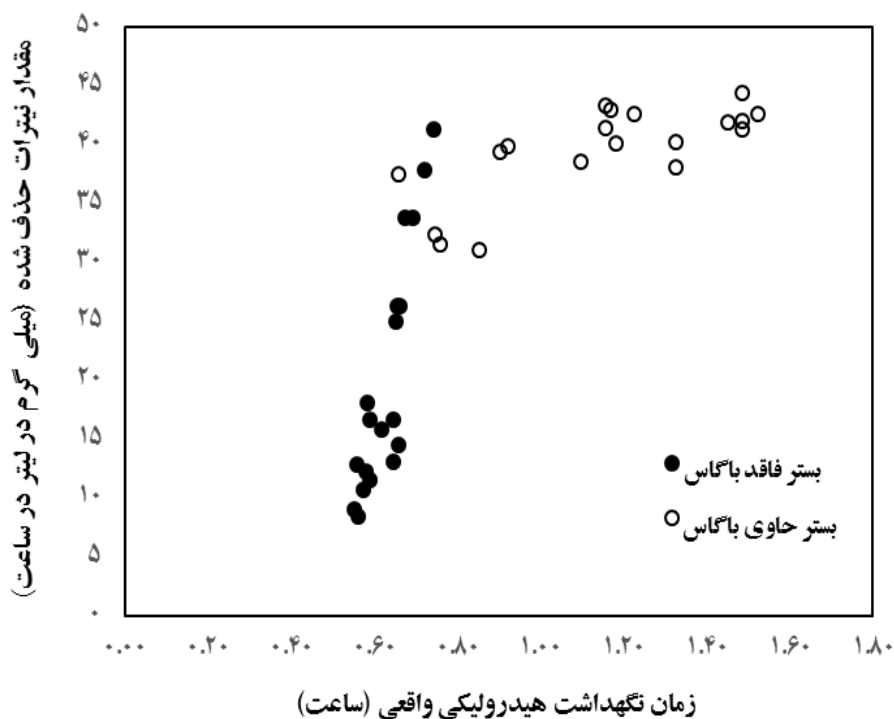
6- Hill and Cardaci

1- Smil

2 Jaynes *et al.*

3 Xu *et al.*

تنگسیر و همکاران: بررسی عملکرد باگاس نیشکر به عنوان منبع کربنی...



شکل ۷- روند تغییرات مقدار نیترات حذف شده با زمان نگهداشت هیدرولیکی واقعی

نیترات ورودی به عنوان گیرنده الکترون و منبع کربنی به عنوان دهنه الکترون نمی‌شوند.

تأثیر مقدار منبع کربنی (نسبت کربن به ازت کل) روی مقدار نیترات حذف شده

در مطالعات سالیلینگ و همکاران^۳ (۲۰۰۷)، استفاده از منابع کربنی جامد غیر قابل حل، در طراحی بسترهای دنیتریفیکاسیون، به عنوان یک راه حل جایگزین منابع کربنی مایع از جمله متابولو و یا اتانول معرفی می‌شوند. یکی از اهداف تحقیق حاضر، استفاده از باگاس نیشکر به منظور تأمین منبع کربنی جامد مورد نیاز متابولویسم باکتری‌های هتروتروفیک، می‌باشد. ژو و همکاران (۲۰۱۵)^۴، نسبت کربن به ازت کل، را به عنوان یک شاخصی از نسبت دهنده الکترون به گیرنده الکترون در دنیتریفیکاسیون بیولوژیکی تعریف می‌کنند. مطالعات یانگ و همکاران (۲۰۱۲)، نشان می‌دهد که تولید نیتریت و آمونیوم به واسطه فرآیند دنیتریفیکاسیون به شدت به ماهیت منبع کربنی وابسته می‌باشد. این فاکتور در طول فرآیند دنیتریفیکاسیون، بر نرخ حذف نیترات و تجمع نیتریت و آمونیوم تأثیرگذار می‌باشد. کالدررا و همکاران (۲۰۱۴)، حضور مقادیر کافی از منابع کربنی در محیط را عمدتاً به عنوان دهنده الکترون و عامل تسهیل کننده فرآیند

نتایج تحلیل آماری نیز این روند تغییرات را تأیید می‌کنند به طوری که مقدار ضریب همبستگی بین زمان نگهداشت و راندمان حذف در بسترهای فاقد باگاس بیشتر از بسترهای حاوی باگاس می‌باشد (جدول ۴). در بسترهای فاقد باگاس حداقل مقدار حذف، به اوایل دوره آزمایش مربوط می‌باشد در حالی که در بسترهای حاوی باگاس این فرآیند در اوآخر دوره آزمایش رخ می‌دهد. وقوع حداقل مقدار حذف در اوآخر دوره آزمایش، در بسترهای حاوی باگاس، یک مزیت بسیار مهم برای این نوع بستر محسوب می‌شود. به طوری که پیش‌بینی می‌شود به احتمال زیاد نیترات نیز می‌تواند پاسخگو باشد. هم چنین این روند تغییرات، حاکی از آن است که باکتری‌های دنیتریفیکاتور موجود در محیط، با گذشت زمان به شرایط مساعدتری برای حذف نیترات نزدیک می‌شوند یا اینکه باکتری‌های دنیتریفیکاتور با گذشت زمان تکامل می‌یابند. تکامل باکتری‌های دنیتریفیکاتور برای مقابله با شرایط زیست محیطی خاص در مطالعات بریدی و ویل^۱ (۲۰۰۲) نیز مشاهده می‌شود. یکی از دلایل اصلی و عمده پایین بودن مقدار نیترات حذف شده در بسترهای فاقد باگاس، به کوتاه بودن زمان نگهداشت هیدرولیکی در این نوع بستر نسبت داده می‌شود به گونه‌ای که باکتری‌های دنیتریفیکاتور در این مدت کوتاه موفق به مصرف

تأثیر اسیدیته بر فرآیند حذف نیترات در بسترها دinitrifیکاسیون

مطالعات روزت و همکاران^۳ (۲۰۰۰)، محدوده اسیدیته بهینه برای دinitrifیکاتورهای هتروتروفیک را به طور کلی بین ۵/۵ تا ۸ گزارش می‌کند. مشاهده شده است که مقادیر اسیدیته خارج از این محدوده مانع فرآیند دinitrifیکاسیون می‌شود. با این حال اسیدیته بهینه به موجب اثرات سازگاری و انطباق با اکسوسیستم میکروبی، می‌تواند خاص سایت و مکان مورد مطالعه، متفاوت باشد. هیسوک و همکاران (۱۹۹۱)، اسیدیته بهینه برای دinitrifیکاسیون را در محدوده ۷ تا ۸ گزارش می‌کنند و بیان دارند که نرخ حذف به طور معنی‌داری با کاهش دما کاهش می‌یابد. بریدی و ویل (۲۰۰۲)، در خصوص تأثیر اسیدیته بر فرآیند دinitrifیکاسیون، بیان می‌کنند که محیط‌هایی به شدت اسیدی (اسیدیته کمتر از پنج)، منجر به متوقف شدن فرآیند دinitrifیکاسیون و پیشرفت زنجیره دinitrifیکاسیون در جهت تولید نیتریت و گاز اکسید دی‌نیتروژن می‌شوند. در این مطالعه اسیدیته در محدوده ۷ تا ۷/۷۶ در هر دو بستر مشاهده شود که در محدوده بهینه می‌باشد. به طوری که در همه تیمارها، بهبود اسیدیته و قلیائیت منجر به بهبود شرایط دinitrifیکاسیون می‌شود. لازم به ذکر می‌باشد که روند تعییرات اسیدیته در طور دوره آزمایش روند معین و مشخصی نمی‌باشد. این نتایج مشابه نتایج گزارش شده توسط یانگ و همکاران (۲۰۱۲)، می‌باشد. ریوت و همکاران^۴ (۲۰۰۷)، گزارش می‌کنند که دinitrifیکاسیون خودش به واسطه تولید هیدروکسید و دی‌اکسید کربن، منجر به افزایش اسیدیته می‌شود. و این محققین اضافه می‌نمایند در صورتی که تولید یون هیدروکسید بیش از گاز دی‌اکسید کربن باشد آنگاه افزایش اسیدیته در محیط رخ می‌دهد.

بررسی روند غلظت آمونیوم در بسترها دinitrifیکاسیون

در این تحقیق روند معینی برای غلظت آمونیوم در طول دوره آزمایش با گذشت زمان مشاهده نشد. در هر دو بستر در تمامی تاریخ‌های نمونه برداری، غلظت آمونیوم خروجی به بیش از غلظت آمونیوم ورودی افزایش یافت. اما هم چنان این مقدار کمتر از حد استاندارد در آب آشامیدنی بود. این نتایج مشابه نتایج گزارش شده توسط هاشمی و همکاران (۱۳۹۰) می‌باشد.

نتیجه گیری

با توجه به اینکه حذف بیولوژیکی نیترات به تعدادی از فاکتورها از جمله بالاترین غلظت نیترات که میکرووارگانیسم‌ها می‌توانند تحمل کنند و موجودیت منبع کربنی وابسته می‌باشد. در این تحقیق عملکرد بسترها دinitrifیکاسیون در متوسط غلظت نیترات ورودی حدود ۴۵ میلی گرم در لیتر مورد بررسی و ارزیابی

دinitrifیکاسیون می‌دانند. هم چنان، چن و همکاران^۱ (۲۰۱۵)، حضور مقادیر کافی از منابع کربنی یا نسبت کربن به ازت کل را یک فاکتور بسیار مهم برای اطمینان از راندمان حذف نیترات قبل قبول گزارش می‌کنند. مقادیر نسبت کربن به ازت کل، مطابق با جدول (۱) در پایان دوره آزمایش، برای بستر فاقد باگاس ۱۰/۹۳ و بستر حاوی ۳۰ درصد باگاس، ۱۲/۱۸ می‌باشد. همان طور که مشخص است اضافه نمودن ۳۰ درصد باگاس، منجر به افزایش ۱۰ درصدی نسبت کربن به ازت کل در بستر مورد مطالعه می‌شود. نتایج تحقیق اودا و همکاران^۲ (۲۰۰۶)، در خصوص حذف بیولوژیکی نیترات با استفاده از زباله‌های صنعتی قند نشان می‌دهد که در نسبت‌های کربن به ازت کل کمتر از دو، منبع کربنی برای دinitrifیکاسیون کافی نمی‌باشد. به طوری که آن‌ها مقادیر زیادی از نیترات محلول ورودی را در خروجی اندازه‌گیری می‌کنند. مقایسه بین بسترها حاوی نسبت‌های متفاوت از کربن به ازت کل در این مطالعه، بیان می‌کنند که نه تنها مقدار این فاکتور تأثیری معنی‌دار بر نرخ حذف نیترات و راندمان حذف دارد، بلکه سایر پارامترهای هیدرولیکی بستر از قبیل نرخ بارگذاری هیدرولیکی و متعاقباً زمان نگهداشت هیدرولیکی واقعی بر وقوع دinitrifیکاسیون کامل و مصرف منع کربنی موجود در بستر تأثیرگذار می‌باشدند. به عبارت دیگر حضور منع کربنی به مقدار کافی، تنها تضمین کننده وقوع فرآیند دinitrifیکاسیون و حذف نیترات در محیط نمی‌باشد. بلکه سایر شرایط ضروری دیگر نیز می‌بایست فراهم باشند تا فرآیند دinitrifیکاسیون به طور کامل رخ دهد. به عنوان مثال، مقادیر کربن به ازت کل در هر دو بستر مورد مطالعه، مقادیر خوبی به لحاظ حضور مقدار کربن آلی در خاک می‌باشند. اما در بسترها فاقد باگاس با نسبت کربن به ازت کل حدود ۱۰/۹۳، به دلیل کوتاه بودن زمان نگهداشت هیدرولیکی در این نوع بستر، مقدار حذف نیترات از بستر هم چنان پایین می‌ماند. یکی از دلایل پایین بودن مقدار حذف در این نوع بستر، این می‌باشد که سرعت‌های بالای جریان، منجر به آبشویی منابع کربنی از بستر می‌شوند بدون اینکه مورد مصرف باکتری‌ها قرار گرفته باشند. از سوی دیگر اوبارجا همکاران^۲ (۲۰۰۵)، ماهیت و ویژگی‌های منع کربنی را روی پارامترهای مهم فرآیند دinitrifیکاسیون از قبیل نرخ دinitrifیکاسیون بسیار تأثیرگذار گزارش می‌کنند. به طوری که در این تحقیق، باگاس به عنوان یک منع کربنی جامد، بسیار بهتر از منع کربنی اولیه موجود در خاک عمل می‌کند. هم چنان باگاس منجر به بهبود وضعیت هیدرولیکی بستر (افزایش زمان نگهداشت هیدرولیکی) و متعاقباً کاهش آبشویی نیترات و سهولت دسترسی نیترات در محیط برای شرکت در فرآیند دinitrifیکاسیون می‌شود.

1- Chen *et al.*

2- Obaja *et al.*

تنگسیر و همکاران: بررسی عملکرد باگاس نیشکر به عنوان منبع کربنی...

کنترل نمود. تنها نگرانی موجود از کاربرد منابع کربنی در مقیاس‌های کوچک در بسترها دنیتریفیکاسیون، این می‌باشد که مبادا ادامه فعالیت میکروبی باکتری‌ها منجر به گرفنگی و مسدود شدن محیط‌های به شدت متخلخل گردد. نتایج این تحقیق بیانگر این موضوع می‌باشند که تنها حضور مقادیر کافی از منبع کربنی در محیط اشیاع، تضمین کننده وقوع فرآیند دنیتریفیکاسیون به طور کامل، در جهت حذف نیترات در حد مطلوب نمی‌باشد. بلکه سایر عوامل، از جمله زمان نگهداشت هیدرولیکی، سرعت جریان ورودی و غلظت نیترات ورودی هم بایستی در محدوده یا بازه‌ی مناسبی قرار داشته باشد.

قرار گرفتند. نتایج نشان داد که بسترها طراحی شده حاوی باگاس نیشکر از هر لحاظ بسترها مناسب و کارآمدی در جهت وقوع دنیتریفیکاسیون کامل و حذف حدود ۸۷ درصد از نیترات ورودی با نرخ حذف $35/84$ میلی‌گرم در لیتر در ساعت به طور متوسط در کل دوره آزمایش می‌باشند. هم چنین نتایج تحلیل همبستگی، همبستگی شاخص‌های عملکرد بستر، راندمان حذف و نرخ حذف نیترات را با فاکتورهای تاثیر گذار (نرخ بارگزاری هیدرولیکی و زمان نگهداشت هیدرولیکی) را در سطح احتمال یک درصد معنی‌دار نشان می‌دهند، به گونه‌ای که با کنترل این فاکتورها می‌توان راندمان حذف و نرخ حذف را در حد مطلوب

منابع

- ۱- هاشمی، س. ا.، حیدر پور، م. و ب. مصطفی زاده فرد. ۱۳۹۰. بررسی میزان حذف نیترات در دو حالت قوار گیری فیلترهای زیستی در سیستم‌های زهکشی زیززمینی. علوم و مهندسی آبیاری، ۳۴(۲): ۷۱-۸۱.
- ۲- واحدی، ع. ا.، متاجی، ا. و س. م. حجتی. ۱۳۹۳. مدل سازی مخزن کربن آلی خاک در رابطه با ویژگی‌های فیزیکو-شیمیایی خاک در جنگل گلنرود در شمال ایران. مجله پژوهش‌های خاک (علوم خاک و آب)، ۲۸(۱): ۵۳-۶۱.
- 3- Barkle, G.F. Schipper, L.A., Burgess, C.P. and B.D.M. Painter. 2007. In situ mixing of organic matter decreases hydraulic conductivity of denitrification walls in sand aquifers. Groundwater Monitoring and Remediation, 28: 57-64.
- 4- Brady, N.C. and R.R. Weil. 2002. The Nature and properties of soils, 13ed. Prentice Hall, New Jersey.
- 5- Calderera, M., Martí, V., Pablo, J.D., Guivernau, M., Prenafeta-Boldú, F.X. and M. Viñas. 2014. Effects of enhanced denitrification on hydrodynamics and microbial community structure in a soil column system. Chemosphere, 111: 112-119.
- 6- Camargo, J.A. and A. Alonso. 2006. Ecological and toxicological effects of inorganic nitrogen pollution in aquatic ecosystems: A Global Assessment Environment International, 32: 831-849.
- 7- Cameron, S.C. and L.A. Schipper. 2010. Nitrate removal and hydraulic performance of carbon substrates for potential use in denitrification beds. Ecological Engineering, 31: 1588-1595.
- 8- Cameron, S.G. and L.A. Schipper. 2012. Hydraulic properties, hydraulic efficiency and nitrate removal of organic carbon media for use in denitrification beds. Ecological Engineering, 41: 1-7.
- 9- Chen, Y., Li, B., Ye, L. and Y. Peng. 2015. The combined effects of COD/N ratio and nitrate recycling ratio on nitrogen and phosphorus removal in anaerobic/anoxic/aerobic (Al_2O)-biological aerated filter (BAF) systems. Biochemical Engineering Journal, 93: 235-242.
- 10-Franzmeier, D.P. 1991. Estimation of hydraulic conductivity from effective porosity data for some Indiana soils. Soil Science Society of American Journal, 55: 1803 – 1891.
- 11-Galloway, J.N., Aber, J.D., Erisman, J.W., Seitzinger, S.P., Howarth, R.W., Cowling, E.B. and B.J. Cosby. 2003. The nitrogen Cascade. Bioscience, 53(4): 341-356.
- 12-Ghane, E., Fausey, N.R. and L.C. Brown. 2015. Modeling nitrate removal in a denitrification bed. Water Research, 71: 294-305.

- 13-Gilliam, W. 1994. Riparian wetland and water quality. *Journal of Environmental Qulity*, 23: 896–900.
- 14-Hashemi Garmdareh, S.E., Heidarpour, M. and B. Mostafazadeh-Fard. 2011. Nitrate removal using different carbon substrates in a laboratory model. *Water Science and Technology*, 63(11): 2700-2706.
- 15- Healya, M.G., Ibrahim, T.G., Lanigan, G.J., Serrenho, A.J. and O. Fenton. 2012. Nitrate removal rate, efficiency and pollution swapping potential of different organic carbon media in laboratory denitrification bioreactors. *Ecological Engineering*, 40: 198-209.
- 16-Hill, A., 1996. Nitrate removal in stream riparian zones. *Journal of Environmental Qulity*, 25: 743–755.
- 17-Hill, A.R. and M. Cardaci. 2004. Denitrification and organic carbon availability in riparian wetland soils and subsurface sediments. *Soil Science Society of American Journal*, 68: 320–325.
- 18-Hiscock, K.M. Lloyd, J.W. and L.N. Lerner. 1991. Review of natural artificial denitrification of groundwater. *Water Research*, 25(9): 1099-1111.
- 19-Jaynes, D.B., Kasper, T.C., Moorman, T.B. and T.B. Parkin. 2008. In situ bioreactors and deep drain-pipe installation to reduce nitrate losses in artificially drained fields. *Journal of Environmental Quality*, 37: 429-436.
- 20-Kadlec, R.H., and S.D. Wallace. 2009. Treatment wetlands. CRC Press, Boca Raton, FL, USA.
- 21-Knowles, R. 1982. Denitrification. *Microbiological Reviews*, 46(1): 43-70.
- 22-Lee, K. and B.E. Rittmann. 2003. Effect of pH and precipitation on autohydrogenotrophic denitrification using the hollow-fiber membranebiofilm reactor. *Water Resource*, 37: 1551-1556.
- 23-Lin, Y.F., Jing, S.R., Lee, D.Y., Chang, Y.F. and K.C. Shih. 2008. Nitrate removal from groundwater using constructed wetlands under various hydraulic loading rates. *Bioresource Technology*, 99: 7504-7513.
- 24-Long, L.M. 2011. Long term nitrate remoal in a denitrification wall. A Thesis Submitted In Fulfilment of Requirements for The Degree of Master of Philosophy In Earth and Ocean Sciences, The University of Waikato.
- 25-Obaja, D., Macé, S. and J. Mata-Alvarez. 2005. Biological nutrient removal by a sequencing batch reactor (SBR) using an internal organic carbon source in digested piggery wastewater. *Bioresource Technology*, 96: 7-14.
- 26-Reddy, K.R. and R.D. DeLaune. 2008. Biogeochemistry of wetlands: Science and applications .CRC Press, Boca Global Population and the Nitrogen Cycle. *Nature Scientific America*, 277: 76-81.
- 27-Rivett, M.O., Smith, J.W.N., Buss, S.R. and P. Morgan. 2007. Nitrate occurrence and attenuation in the major aquifers of England and wales. *Quarterly Journal of Engineering Geology and Hydrogeology*, 40(4): 335–352.
- 28-Robertson, W.D. 2010. Rates of nitrate removal in woodchip media of varying age. *Ecological Engineering*, 36: 1581-1587.
- 29-Rupert, M.G. 2008. Decadal-scale changes of nitrate in ground water of the United States, 1988-2004. *Journal of Environmental Quality*, 37: 240- 248.
- 30-Rust, C.M., Aelion, C.M. and J.R.V. Flora. 2000. Control of pH during denitrification in sub-surface sediment microcosms using encapsulated phosphate buffer. *Water Resource*, 34(5): 1447–1454.

تنگیزیر و همکاران: بررسی عملکرد با گاز نیشکر به عنوان منبع کربنی...

- 31-Saliling, W.J.B., Westerman, P.W. and T.M. Losordo. 2007. Wood chips and wheat straw as alternative biofilter media for denitrification reactors treating aquaculture and other wastewaters with high nitrate concentrations. *Aquacultural Engineering*, 37: 222-233.
- 32-Schipper, L.A., Barkle, G.F., Hadfield, J.C., Vojvodic-Vukovic, M. and C.P. Burgess. 2004. Hydraulic constraints on the performance of a groundwater denitrification wall for nitrate removal from shallow groundwater. *Journal of Contaminant Hydrology*, 69: 263-279.
- 33-Schipper, L.A., Robertson, W.D., Gold, A.J., Jaynes, D.B. and S.C. Cameron. 2010. Review: Denitrifying bioreactors—an approach for reducing nitrate loads to receiving waters. *Ecological Engineering*, 36(11): 1532-1543.
- 34-Seitzinger, S.P. 1988. Denitrification in freshwater and coastal marine ecosystems ecological and geochemical significance. *Limnology and Oceanography*, 33(4 ,part 2): 702-724.
- 35-Shao, L., Xu, Z.X., Jin, W. and H.L. Yin. 2009. Rice husk as carbon source and biofilm carrier for water denitrification. *Polish Journal of Environmental Studies*, 18(4): 693-699.
- 36-Smil, V. 1997. Global population and the nitrogen cycle. *Nature Scientific America*, 277: 76-81.
- 37-Spalding, R.F. and M.E. Exner. 1993. Occurrence of nitrate in groundwater-A review. *Journal of Environmental Quality*, 22(3): 392-402.
- 38-Stanford, G., Dzienia, S. and R.A. Vanderpol. 1975. Effect of temperature on denitrification rate in soils. *Soil Science Society of America Journal*, 39(5): 867-870.
- 39-Ueda, T., Shinogi, Y. and M. Yamaoka. 2006. Biological nitrate removal using sugar-industry wastes. *Paddy Water Environment*, 4: 139-144.
- 40-USEPA, 2006. Edition of the Drinking Water Standards and Health Advisories. Report 822-R-06-013, Office of Water U.S. Environmental Protection Agency, USEPA, Washington, DC.
- 41-Vitousek, P.M., Aber, J.D., Howarth, R.W., Likens, G.E., Matson, P.A., Schindler, D.W., Schlesinger, W.H. and D.G. Tilman. 1996. Human Alteration of the Global Nitrogen Cycle: Sources and Consequences. *Ecological Applications*, 7(3): 737-750.
- 42-Volokita, M., Abeliovich, A. and M.I.M. Soares. 1996a. Denitrification of groundwater using cotton as energy source. *Water Science and Technology*, 34: 379-385.
- 43-Volokita, M., Belkin, S., Abeliovich, A. and M.I.M. Soares. 1996b. Biological denitrification of drinking water using newspaper, *Water Resource*, 30: 965-971.
- 44-Wang, D.Q., Chen, Z.L., Xu, S.Y., Da, L.J., Bi, C.J. and J. Wang. 2007. Denitrification in tidal flat sediment, Yangtze Estuary. *Science in China Series B-Chemistry*, 50(6): 812-820.
- 45-Xu, Z. Shao, L., Yin, H., Chu, H. and Y. Yao. 2009. Biological denitrification using corncobs as a carbon source and biofilm carrier. *Water Environment Research*, 81: 242-247.
- 46-Yang, X., Wang, S. and L. Zhou. 2012. Effect of carbon source, C: N ratio, nitrate and dissolved oxygen concentration on nitrite and ammonium production from denitrification process by *Pseudomonas stutzeri* D6. *Bioresource Technology*, 104: 65-72.
- 47-Zhu, S., Zheng, M., Li, C., Gui, M., Chen, Q. and J. Ni. 2015a. Special role of corn flour as an ideal carbon source for aerobic denitrification with minimized nitrous oxide emission. *Bioresource Technology*, 186: 44-51.

- 48-Zhu, S.M., Deng, Y.L., Ruan, Y.J., Guo, X.S., Shi, M.M. and J.Z. Shen. 2015b. Biological denitrification using poly (butylene succinate) as carbon source and biofilm carrier for recirculating aquaculture system effluent treatment. *Bioresource Technology*, 192: 603-610.